



Introducción

Las estrellas en el
Universo

Sistemas binarios eclipsantes

Sistemas Binarios
Formación de la imagen
Fotometría de apertura
diferencial

Binaria Eclipsante J052919-1617.3

Observaciones
Ephemérides
Curva de Luz
Órbita
Temperatura
Parámetros Físicos

References

Luz, sombra y ciencia

Midiendo el Universo con Binarias Eclipsantes

D. Galán-Diégoz ^{1,2}

M.J. Arévalo Morales ^{1,2}

R. Iglesias Marzoa ³

¹ Instituto de Astrofísica de Canarias

² Universidad de La Laguna, Dpto. Astrofísica

² Centro de Estudios de Física del Cosmos de Aragón

21 Diciembre, 2024



EXCELENCIA
SEVERO
OCHOA



Departamento de Astrofísica
Universidad de La Laguna



MINISTERIO
DE CIENCIA
E INNOVACIÓN



UNIÓN EUROPEA
Fondo Social Europeo
EFSE Invierte en tu futuro



Las estrellas en el Universo

Introducción

Las estrellas en el
Universo

Sistemas binarios eclipsantes

Sistemas Binarios
Formación de la imagen
Fotometría de apertura
diferencial

Binaria Eclipsante J052919-1617.3

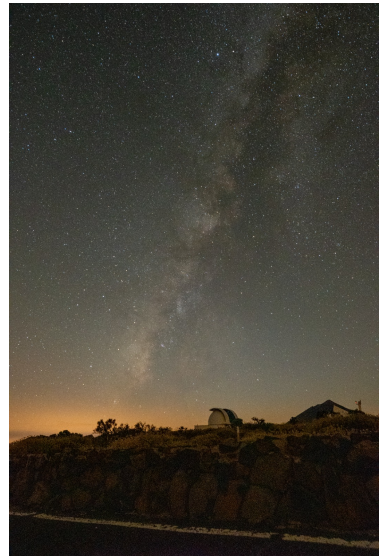
Observaciones
Efemérides
Curva de Luz
Órbita
Temperatura
Parámetros Físicos

References

Estrellas

- < 50% estrellas individuales
- ~ 70 % → $M < 1 M_{\odot}$

Prša et al. (2016); Horvat et al. (2018)





Sistemas Binarios

Introducción

Las estrellas en el
Universo

Sistemas binarios eclipsantes

Sistemas Binarios

Formación de la imagen
Fotometría de apertura
diferencial

Binaria Eclipsante J052919-1617.3

Observaciones
Efemérides
Curva de Luz
Órbita
Temperatura
Parámetros Físicos

References

Crédito: SPAMMS, Michael Abdul-Masih

¿Qué son?

- **Sistemas de dos estrellas**
- Que orbitan una en torno a la otra con un centro de masas común



Sistemas Binarios

Introducción

Las estrellas en el
Universo

Sistemas binarios eclipsantes

Sistemas Binarios

Formación de la imagen
Fotometría de apertura
diferencial

Binaria Eclipsante J052919-1617.3

Observaciones
Efemérides
Curva de Luz
Órbita
Temperatura
Parámetros Físicos

References

Crédito: SPAMMS, Michael Abdul-Masih

¿Qué son?

- Sistemas de dos estrellas
- **Que orbitan una en torno a la otra con un centro de masas común**



Sistemas Binarios Eclipsantes

Introducción

Las estrellas en el
Universo

Sistemas binarios eclipsantes

Sistemas Binarios

Formación de la imagen
Fotometría de apertura
diferencial

Binaria Eclipsante J052919-1617.3

Observaciones
Efemérides
Curva de Luz
Órbita
Temperatura
Parámetros Físicos

References

Eclipsing Systems

- **Plano orbital orientado
hacia la Tierra**
- Curvas de luz
 - * Variación periódica del
brillo
 - * Eclipses

Crédito: European Southern Observatory (ESO)



Sistemas Binarios Eclipsantes

Introducción

Las estrellas en el
Universo

Sistemas binarios eclipsantes

Sistemas Binarios

Formación de la imagen
Fotometría de apertura
diferencial

Binaria Eclipsante J052919-1617.3

Observaciones
Efemérides
Curva de Luz
Órbita
Temperatura
Parámetros Físicos

References

Eclipsing Systems

- Plano orbital orientado hacia la Tierra
- **Curvas de luz**
 - Variación periódica del brillo
 - Eclipses

Crédito: European Southern Observatory (ESO)



Sistemas Binarios Eclipsantes

Introducción

Las estrellas en el
Universo

Sistemas binarios eclipsantes

Sistemas Binarios

Formación de la imagen
Fotometría de apertura
diferencial

Binaria Eclipsante J052919-1617.3

Observaciones
Efemérides
Curva de Luz
Órbita
Temperatura
Parámetros Físicos

References

Eclipsing Systems

- Plano orbital orientado hacia la Tierra
- Curvas de luz
 - **Variacion periodica del brillo**
 - Eclipses

Crédito: European Southern Observatory (ESO)



Sistemas Binarios Eclipsantes

Introducción

Las estrellas en el
Universo

Sistemas binarios eclipsantes

Sistemas Binarios

Formación de la imagen
Fotometría de apertura
diferencial

Binaria Eclipsante J052919-1617.3

Observaciones
Efemérides
Curva de Luz
Órbita
Temperatura
Parámetros Físicos

References

Eclipsing Systems

- Plano orbital orientado hacia la Tierra
- Curvas de luz
 - Variación periódica del brillo
 - **Eclipses**

Crédito: European Southern Observatory (ESO)

Turbulencia atmosférica

Introducción

Las estrellas en el
Universo

Sistemas binarios eclipsantes

Sistemas Binarios

Formación de la imagen

Fotometría de apertura
diferencial

Binaria Eclipsante J052919-1617.3

Observaciones

Efemérides

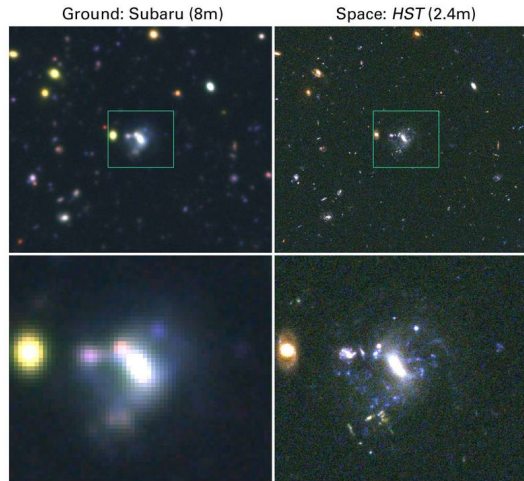
Curva de Luz

Órbita

Temperatura

Parámetros Físicos

References



Crédito: The NASA Hubble Space Telescope Website



Turbulencia atmosférica

Introducción

Las estrellas en el
Universo

Sistemas binarios eclipsantes

Sistemas Binarios

Formación de la imagen

Fotometría de apertura
diferencial

Binaria Eclipsante J052919-1617.3

Observaciones

Efemérides

Curva de Luz

Órbita

Temperatura

Parámetros Físicos

References

Fotometría de Apertura

Introducción

Las estrellas en el
Universo

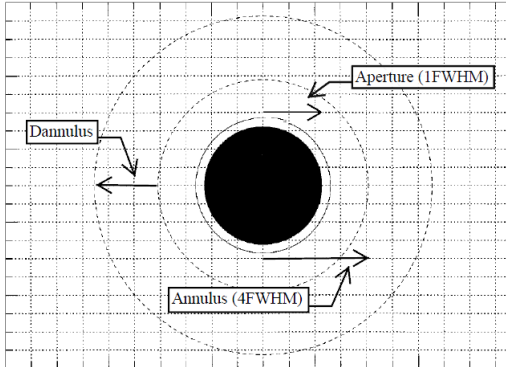
Sistemas binarios eclipsantes

Sistemas Binarios
Formación de la imagen
Fotometría de apertura
diferencial

Binaria Eclipsante J052919-1617.3

Observaciones
Efermérides
Curva de Luz
Órbita
Temperatura
Parámetros Físicos

References



Medida del fujo

- **Apertura**
- Anillo de cielo

Fotometría de Apertura

Introducción

Las estrellas en el
Universo

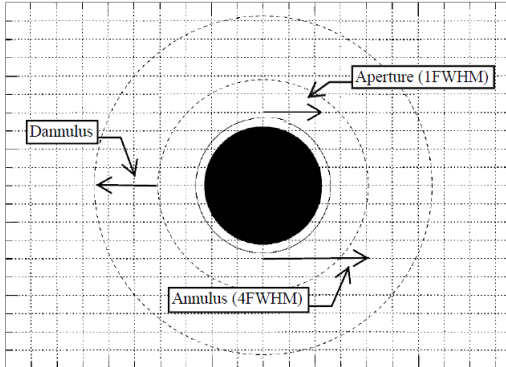
Sistemas binarios eclipsantes

Sistemas Binarios
Formación de la imagen
Fotometría de apertura
diferencial

Binaria Eclipsante J052919-1617.3

Observaciones
Efermérides
Curva de Luz
Órbita
Temperatura
Parámetros Físicos

References



Medida del fujo

- Apertura
- Anillo de cielo

Fotometría de Apertura Diferencial

Introducción

Las estrellas en el
Universo

Sistemas binarios eclipsantes

Sistemas Binarios
Formación de la imagen
Fotometría de apertura
diferencial

Binaria Eclipsante J052919-1617.3

Observaciones
Efemérides
Curva de Luz
Órbita
Temperatura
Parámetros Físicos

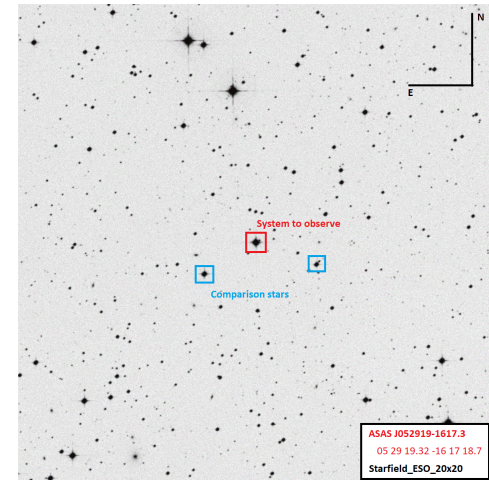
References

Curva de Luz

- Diferencia de brillo:
 - Sistema binario
 - Estrellas de comparación

Eliminación de efectos atmosféricos

- Seeing
- Masa de aire
- Nubes



Fotometría de Apertura Diferencial

Introducción

Las estrellas en el
Universo

Sistemas binarios eclipsantes

Sistemas Binarios
Formación de la imagen
Fotometría de apertura
diferencial

Binaria Eclipsante J052919-1617.3

Observaciones
Efemérides
Curva de Luz
Órbita
Temperatura
Parámetros Físicos

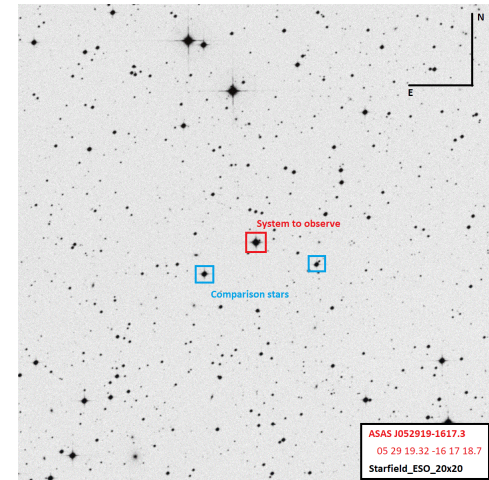
References

Curva de Luz

- **Diferencia de brillo:**
 - Sistema binario
 - Estrellas de comparación

Eliminación de efectos atmosféricos

- Seeing
- Masa de aire
- Nubes



Fotometría de Apertura Diferencial

Introducción

Las estrellas en el
Universo

Sistemas binarios eclipsantes

Sistemas Binarios
Formación de la imagen
Fotometría de apertura
diferencial

Binaria Eclipsante J052919-1617.3

Observaciones
Efemérides
Curva de Luz
Órbita
Temperatura
Parámetros Físicos

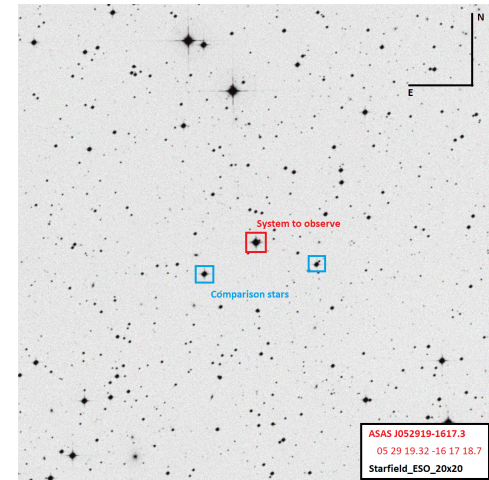
References

Curva de Luz

- Diferencia de brillo:
 - Sistema binario
 - Estrellas de comparación

Eliminación de efectos atmosféricos

- Seeing
- Masa de aire
- Nubes





ASAS J052919-1617.3: Observaciones

Introducción

Las estrellas en el
Universo

Sistemas binarios eclipsantes

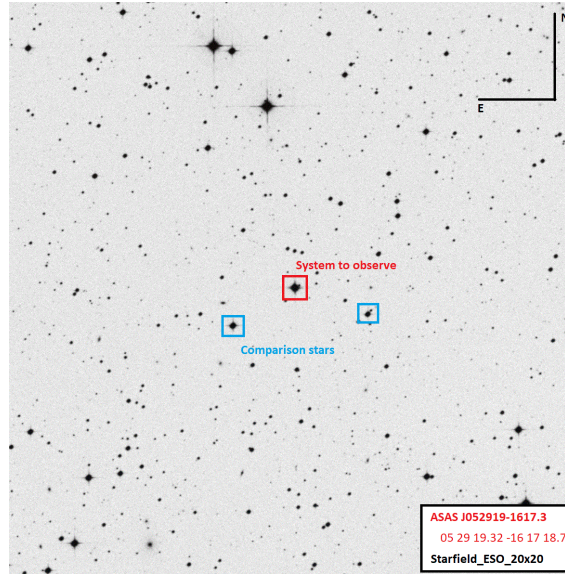
Sistemas Binarios
Formación de la imagen
Fotometría de apertura
diferencial

Binaria Eclipsante J052919-1617.3

Observaciones

Efemérides
Curva de Luz
Órbita
Temperatura
Parámetros Físicos

References





ASAS J052919-1617.3: BinaPhot

Introducción

Las estrellas en el
Universo

Sistemas binarios eclipsantes

Sistemas Binarios
Formación de la imagen
Fotometría de apertura
diferencial

Binaria Eclipsante J052919-1617.3

Observaciones

Efemérides
Curva de Luz
Órbita
Temperatura
Parámetros Físicos

Referencias



ASAS J052919-1617.3: Instante de eclipse primarios

Introducción

Las estrellas en el
Universo

Sistemas binarios eclipsantes

Sistemas Binarios
Formación de la imagen
Fotometría de apertura
diferencial

Binaria Eclipsante J052919-1617.3

Observaciones
Efemérides
Curva de Luz
Órbita
Temperatura
Parámetros Físicos

References

Noche observación	Filtro	HJD _{min} [HJD]
2020/11/01	V	2459155.643993 ± 0.000099
	R	2459155.64390 ± 0.00020
	I	2459155.64474 ± 0.00029
2020/11/03	V	2459157.62664 ± 0.00059
	R	2459157.62628 ± 0.00042
	I	2459157.62645 ± 0.00021
2020/12/28	V	2459212.47705 ± 0.00044
	R	2459212.47658 ± 0.00021
	I	2459212.47670 ± 0.00034
2022/12/15	V	2459929.50073 ± 0.00030
	R	2459929.50039 ± 0.00034
	I	2459929.50032 ± 0.00044



ASAS J052919-1617.3: Instante de eclipse primarios

Introducción

Las estrellas en el
Universo

Sistemas binarios eclipsantes

Sistemas Binarios
Formación de la imagen
Fotometría de apertura
diferencial

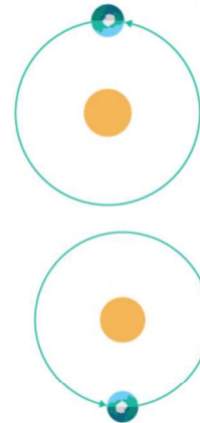
Binaria Eclipsante J052919-1617.3

Observaciones

Elemérides

Curva de Luz
Órbita
Temperatura
Parámetros Físicos

References



Crédito: Boyce-Astro



ASAS J052919-1617.3: Instante de eclipse primarios

Introducción

Las estrellas en el
Universo

Sistemas binarios eclipsantes

Sistemas Binarios
Formación de la imagen
Fotometría de apertura
diferencial

Binaria Eclipsante J052919-1617.3

Observaciones

Efemérides

Curva de Luz

Órbita

Temperatura

Parámetros Físicos

References

Noche observación	Filtro	HJD _{min} [HJD]
2020/11/01	V	2459155.643993 ± 0.000099
	R	2459155.64390 ± 0.00020
	I	2459155.64474 ± 0.00029
2020/11/03	V	2459157.62664 ± 0.00059
	R	2459157.62628 ± 0.00042
	I	2459157.62645 ± 0.00021
2020/12/28	V	2459212.47705 ± 0.00044
	R	2459212.47658 ± 0.00021
	I	2459212.47670 ± 0.00034
2022/12/15	V	2459929.50073 ± 0.00030
	R	2459929.50039 ± 0.00034
	I	2459929.50032 ± 0.00044



ASAS J052919-1617.3: Efemérides

Introducción

Las estrellas en el
Universo

Sistemas binarios eclipsantes

Sistemas Binarios
Formación de la imagen
Fotometría de apertura
diferencial

Binaria Eclipsante J052919-1617.3

Observaciones
Efemérides
Curva de Luz
Órbita
Temperatura
Parámetros Físicos

References

Referencia	P [d]	HJD ₀ [HJD]
AAVSO	0.660855 ± 0.000010	2451868.720 ± 0.010
Nuestros datos	$0.66085103 \pm 0.00000018$	$2459929.50048 \pm 0.00021$

Crédito: Agradecemos las observaciones de estrellas variables de la Base de Datos Internacional de la AAVSO aportadas por observadores de todo el mundo y utilizadas en esta investigación.

ASAS J052919-1617.3: Curva de luz

Introducción

Las estrellas en el
Universo

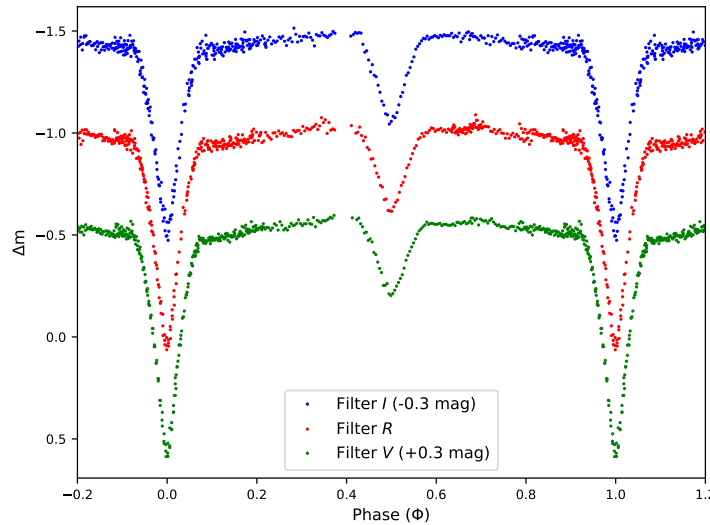
Sistemas binarios eclipsantes

Sistemas Binarios
Formación de la imagen
Fotometría de apertura
diferencial

Binaria Eclipsante J052919-1617.3

Observaciones
Efemérides
Curva de Luz
Órbita
Temperatura
Parámetros Físicos

References





ASAS J052919-1617.3: Órbita

Introducción

Las estrellas en el
Universo

Sistemas binarios eclipsantes

Sistemas Binarios
Formación de la imagen
Fotometría de apertura
diferencial

Binaria Eclipsante J052919-1617.3

Observaciones
Efemérides
Curva de Luz
Órbita
Temperatura
Parámetros Físicos
References

Noche Observación	Filter	HJD _{sec} [HDJ]	Fase
2020/11/02	V	2459156.63419 ± 0.00064	0.4985 ± 0.0011
	R	2459156.63546 ± 0.00056	0.50039 ± 0.00096
	I	2459156.63495 ± 0.00094	0.49961 ± 0.0015



ASAS J052919-1617.3: Temperatura

Introducción

Las estrellas en el
Universo

Sistemas binarios eclipsantes

Sistemas Binarios
Formación de la imagen
Fotometría de apertura
diferencial

Binaria Eclipsante J052919-1617.3

Observaciones
Efemérides
Curva de Luz
Órbita
Temperatura
Parámetros Físicos

References

Banda	Magnitud	Magnitud desenrojecida
V	11.748 ± 0.048	11.676 ± 0.048
R	11.282 ± 0.047	11.225 ± 0.047
I	10.837 ± 0.042	10.798 ± 0.042
V-R	0.466 ± 0.067	0.451 ± 0.067
V-I	0.911 ± 0.064	0.878 ± 0.064
R-I	0.445 ± 0.063	0.427 ± 0.063

[Schlafly & Finkbeiner \(2011\); Gaia Collaboration et al. \(2016\)](#)



ASAS J052919-1617.3: Temperature

Introducción

Las estrellas en el
Universo

Sistemas binarios eclipsantes

Sistemas Binarios
Formación de la imagen
Fotometría de apertura
diferencial

Binaria Eclipsante J052919-1617.3

Observaciones
Efemérides
Curva de Luz
Órbita
Temperatura
Parámetros Físicos

References

Index	Index value	T _{eff} [K]
V-R	0.451 ± 0.067	6028 ± 382
V-I	0.878 ± 0.064	5640 ± 225
R-I	0.427 ± 0.063	5197 ± 343
Valor medio (adoptado)		5621 ± 280

Pecaut & Mamajek (2013)

ASAS J052919-1617.3: PHOEBE

Introducción

Las estrellas en el
Universo

Sistemas binarios eclipsantes

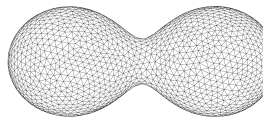
Sistemas Binarios
Formación de la imagen
Fotometría de apertura
diferencial

Binaria Eclipsante J052919-1617.3

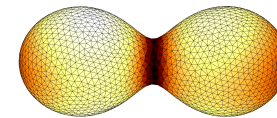
Observaciones
Efemérides
Curva de Luz
Órbita
Temperatura
Parámetros Físicos

References

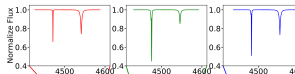
1)



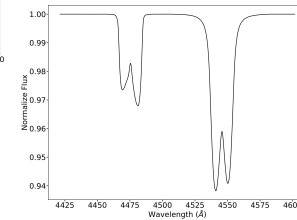
2)



3)



4)



ASAS J052919-1617.3: PHOEBE

Introducción

Las estrellas en el
Universo

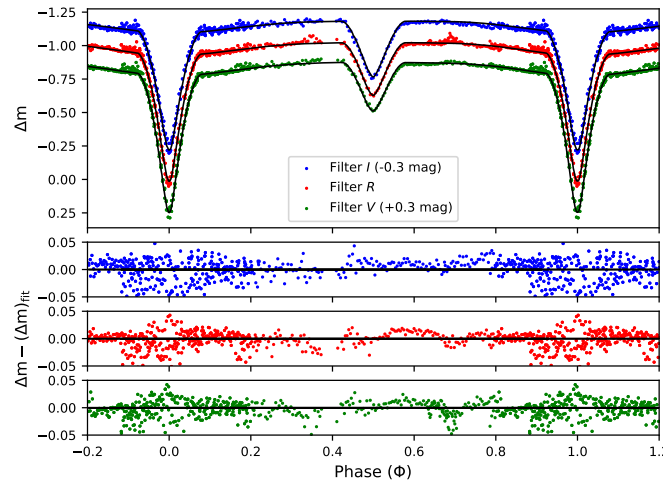
Sistemas binarios eclipsantes

Sistemas Binarios
Formación de la imagen
Fotometría de apertura
diferencial

Binaria Eclipsante J052919-1617.3

Observaciones
Efemérides
Curva de Luz
Órbita
Temperatura
Parámetros Físicos

References





ASAS J052919-1617.3: Parámetros Físicos

Introducción

Las estrellas en el Universo

Sistemas binarios eclipsantes

Sistemas Binarios

Formación de la Imagen

Fotometría de apertura diferencial

Binaria Eclipsante J052919-1617.3

Observaciones

Efemérides

Curva de Luz

Órbita

Temperatura

Parámetros Físicos

References

Parámetro	Primaria	Secundaria	Parámetro	Primaria	Secundaria
Parámetros geométricos y orbitales					
P [d]	0.66085103 ± 0.00000018 (a)		L/(L ₁ + L ₂) [V band]	0.71454 ± 0.00047	0.2855 ± 0.0012
HJD ₀ [HJD]	2459929.50048 ± 0.00021 (a)		L/(L ₁ + L ₂) [R band]	0.68506 ± 0.00054	0.3149 ± 0.0012
ΔΦ	-0.000130 ± 0.000038		L/(L ₁ + L ₂) [I band]	0.66326 ± 0.00060	0.3367 ± 0.0012
q	0.8643 ± 0.0019		Coeficientes de limb-darkening (square-root law)		
i [deg]	85.657 ± 0.022		x ₁ , y ₁ [bol]	0.379, 0.357	0.485, 0.261
e	0.0 (a)		x ₁ , y ₁ [V band]	0.437, 0.375	0.657, 0.170
a [R _⊙]	3.703 (a)		x ₁ , y ₁ [R band]	0.305, 0.443	0.471, 0.310
ω [deg]	0 (a)		x ₁ , y ₁ [I band]	0.194, 0.469	0.310, 0.392
γ [km s ⁻¹]	0 (a)		Parámetros mancha 1 (estrella secundaria)		
Ω	4.8941 ± 0.0032	4.7628 ± 0.0029	Colatitud φ [deg]	-	87.0 ± 1.5
F	1.0 (a)	1.0 (a)	Longitud λ [deg]	-	9.3 ± 2.2
Parámetros radiativos			Radio r [deg]	-	34.5 ± 1.6
T _{eff} [K]	5411 ± 200 (a)	4695 ± 200	T _{mancha} /T _{surf}	-	1.0322 ± 0.0046
A	0.5 (a)	0.5 (a)	Parámetros mancha 2 (estrella secundaria)		
β	0.32 (a)	0.32 (a)	Colatitud φ [deg]	-	14.6 ± 1.2
I ₃ (all bands)	0.0 (a)		Longitud λ [deg]	-	166.6 ± 2.5
Radios fraccionales			Radio r [deg]	-	60.8 ± 1.3
r _{pole}	0.24661 ± 0.00022	0.23229 ± 0.00022	T _{Mancha} /T _{surf}	-	0.790 ± 0.015
r _{point}	0.25698 ± 0.00028	0.24262 ± 0.00028	Residuos del ajuste		
r _{side}	0.25017 ± 0.00024	0.23552 ± 0.00024	σ _V [mag]	0.016	
r _{back}	0.25481 ± 0.00027	0.24046 ± 0.00027	σ _R [mag]	0.017	
r _{mn}	0.25214 ± 0.00013	0.23772 ± 0.00013	σ _I [mag]	0.021	

ASAS J052919-1617.3: Parámetros Físicos

Introducción

Las estrellas en el
Universo

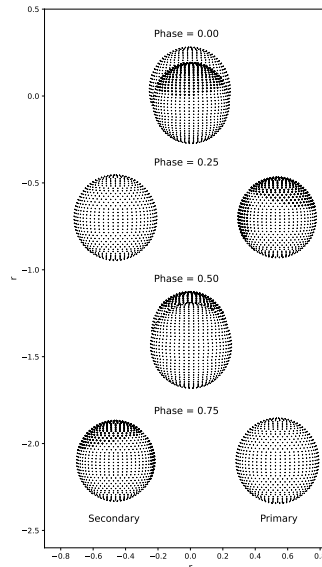
Sistemas binarios eclipsantes

Sistemas Binarios
Formación de la imagen
Fotometría de apertura
diferencial

Binaria Eclipsante J052919-1617.3

Observaciones
Efemérides
Curva de Luz
Órbita
Temperatura
Parámetros Físicos

References





Introducción

Las estrellas en el
Universo

Sistemas binarios eclipsantes

Sistemas Binarios
Formación de la imagen
Fotometría de apertura
diferencial

Binaria Eclipsante J052919-1617.3

Observaciones
Efemérides
Curva de Luz
Órbita
Temperatura
Parámetros Físicos

References

Luz, sombra y ciencia

Midiendo el Universo con Binarias Eclipsantes

D. Galán-Diégoz ^{1,2}

M.J. Arévalo Morales ^{1,2}

R. Iglesias Marzoa ³

¹ Instituto de Astrofísica de Canarias

² Universidad de La Laguna, Dpto. Astrofísica

² Centro de Estudios de Física del Cosmos de Aragón

21 Diciembre, 2024



EXCELENCIA
SEVERO
OCHOA



Departamento de Astrofísica
Universidad de La Laguna



MINISTERIO
DE CIENCIA
E INNOVACIÓN



UNIÓN EUROPEA
Fondo Social Europeo
EFSE Invierte en tu futuro





Referencias

Introducción

Las estrellas en el
Universo

Sistemas binarios eclipsantes

Sistemas Binarios

Formación de la imagen

Fotometría de apertura
diferencial

Binaria Eclipsante J052919-1617.3

Observaciones

Efemérides

Curva de Luz

Órbita

Temperatura

Parámetros Físicos

References

Gaia Collaboration et al., 2016, [A&A, 595, A1](#)

Horvat M., Conroy K. E., Pablo H., Hambleton K. M., Kochoska A., Giamarco J., Prša A., 2018, [ApJS, 237, 26](#)

Pecaut M. J., Mamajek E. E., 2013, [ApJS, 208, 9](#)

Prša A., et al., 2016, [ApJS, 227, 29](#)

Schlafly E. F., Finkbeiner D. P., 2011, [ApJ, 737, 103](#)